

ИСТОЧНИКИ ТЕПЛА В ДВУХСЛОЙНЫХ СРЕДАХ ПРИ НАКЛОННОМ ПАДЕНИИ ЭЛЕКТРОМАГНИТНОГО ИЗЛУЧЕНИЯ

М.А.Фатыхов, Ф.А. Нагаев

Башкирский государственный педагогический университет им.М.Акмуллы, г.Уфа, Россия

В работах [1, 2] описан экспериментально обнаруженный эффект, названный туннельной электромагнитной интерференцией, характерной особенностью которого является наличие незатухающего интерференционного потока энергии с амплитудой, пропорциональной мнимой части волнового вектора. Результатом этого эффекта является просветление диссилирующей среды при интерференции встречных электромагнитных волн (ЭМВ). Прохождение потока электромагнитной энергии через металлическую пластину, в определенной степени аналогична обычной интерференции в диэлектрических пластинах, однако оно оказывается бездиссипативной и обязано как бы эффекту интерференционного туннелирования.

В настоящей работе исследуется явление туннельной электромагнитной интерференции падающей и отраженной волн в диэлектрическом слое, возникающие за счет диссипации энергии волн. Рассмотрим распространение плоских электромагнитных волн в двухслойной поглощающей немагнитной среде ($0 < x < l$ и $l < x < \infty$) с комплексными значениями диэлектрической проницаемости $\varepsilon_i = \varepsilon'_i + i\varepsilon''_i$ ($i = 1,2$). Будем считать, что ЭМВ падают под некоторым углом φ к границе раздела сред l . На поверхности раздела сред происходит частичное отражение падающей волны. С учетом типичных граничных условий на этой поверхности выражения для комплексных амплитуд электрического и магнитного полей в первой и второй средах можно представить в виде [3]

$$\begin{aligned} \dot{E}_1 &= E_0 e^{-i\omega t} \left[e^{i\vec{k}_1 x} + \dot{\rho} e^{i\vec{k}_1(2l-x)} \right], \quad \dot{H}_1 = \frac{E_0}{\dot{Z}_1} e^{-i\omega t} \left[e^{i\vec{k}_1 x} - \dot{\rho} e^{i\vec{k}_1(2l-x)} \right], \\ \dot{E}_2 &= E_0 e^{-i\omega t} \dot{\tau} e^{i(\vec{k}_1 - \vec{k}_2)l + i\vec{k}_2 x}, \quad \dot{H}_2 = \frac{E_0}{\dot{Z}_2} e^{-i\omega t} \dot{\tau} e^{i(\vec{k}_1 - \vec{k}_2)l + i\vec{k}_2 x}, \end{aligned} \quad (1)$$

В первой и во второй области комплексные коэффициенты Френеля на поверхности $x = l$ связаны соотношениями [3]

$$\begin{aligned} \dot{\tau} &= 1 + \dot{\rho}, \\ \dot{\rho} &= \frac{\dot{Z}_2 \cos \varphi - \dot{Z}_1 \cos \theta}{\dot{Z}_2 \cos \varphi + \dot{Z}_1 \cos \theta}, \quad \dot{\tau} = \frac{2\dot{Z}_2 \cos \varphi}{\dot{Z}_2 \cos \varphi + \dot{Z}_1 \cos \theta}, \\ \dot{Z}_i &= Z_0 \sqrt{\frac{1}{\dot{\varepsilon}_i}}, \quad Z_0 = \sqrt{\frac{\mu_0}{\varepsilon_0}}, \quad \vec{k}_i = \beta_i + i\alpha_i, \quad \beta_i = \frac{\bar{k}_i}{\sqrt{2}} \sqrt{1 + \frac{1}{\cos \delta_i}}, \quad \alpha_i = \frac{\bar{k}_i}{\sqrt{2}} \sqrt{\frac{1}{\cos \delta_i} - 1}, \\ \bar{k}_i &= \frac{\omega}{\vartheta_0} \sqrt{\varepsilon'_i}, \quad \delta_i = \operatorname{arctg} \frac{\varepsilon''_i}{\varepsilon'_i}, \quad \vartheta_0 = \frac{1}{\sqrt{\varepsilon_0 \mu_0}}. \end{aligned} \quad (2)$$

Следует заметить, что подобная задача решена в работе [4 - 6] для случая нормального падения электромагнитных волн к границе раздела сред.

Для получения зависимостей потока электромагнитной энергии P и плотности тепловых источников Q от угла падения φ , следует в (2) выразить угол преломления θ через φ ($\theta = f(\varphi)$). Известно, что синусы угла преломления θ и угла падения φ подчинены соотношению:

$$\frac{\sin \theta}{\sin \varphi} = \frac{n_1}{n_2} = n_{12}, \quad (3)$$

С точки зрения электродинамики этот закон – следствие уравнений Максвелла, причем $n = \sqrt{\epsilon \mu}$

для всякой среды с данными проницаемостями. В нашем случае $n_i = \sqrt{\dot{\epsilon}_i}$. Подставляя последнее выражение в (3), имеем:

$$\frac{\sin \theta}{\sin \varphi} = \frac{\sqrt{\dot{\epsilon}_1}}{\sqrt{\dot{\epsilon}_2}}.$$

Из (2) следует, что, $\frac{\sqrt{\dot{\epsilon}_1}}{\sqrt{\dot{\epsilon}_2}} = \frac{\dot{Z}_2}{\dot{Z}_1} = \dot{Z}_{21}$ следовательно, выражение (3) перепишется в

виде $\frac{\sin \theta}{\sin \varphi} = \dot{Z}_{21}$. После некоторых преобразований, имеем

$$\cos \theta = \sqrt{1 - |\dot{Z}_{21}|^2 \sin^2 \varphi}. \quad (4)$$

Подставляя (4) в (2), получим комплексные коэффициенты Френеля в виде:

$$\dot{\rho} = \frac{\dot{Z}_{21} \cos \varphi - \sqrt{1 - |\dot{Z}_{21}|^2 \sin^2 \varphi}}{\dot{Z}_{21} \cos \varphi + \sqrt{1 - |\dot{Z}_{21}|^2 \sin^2 \varphi}}, \quad \dot{\tau} = \frac{2\dot{Z}_{21} \cos \varphi}{\dot{Z}_{21} \cos \varphi + \sqrt{1 - |\dot{Z}_{21}|^2 \sin^2 \varphi}}. \quad (5)$$

Поток электромагнитной энергии определяется средним значением комплексного вектора Пойнтинга

$$P = \frac{1}{2} \operatorname{Re} [\dot{E} \dot{H}^*] \quad (6)$$

Подставляя (1) в (6), после некоторых преобразований, имеем:

$$\begin{aligned} P_1 &= \frac{E_0^2 \cos\left(\frac{\delta_1}{2}\right)}{2|\dot{Z}_{21}|} [e^{-2\alpha_1 x} + \frac{2e^{-2\alpha_1 l} \operatorname{tg}\left(\frac{\delta_1}{2}\right)}{\left|\dot{Z}_{21} \cos \varphi + \sqrt{1 - |\dot{Z}_{21}|^2 \sin^2 \varphi}\right|^2} \left[(\left|\dot{Z}_{21}\right|^2 - 1) \sin(2\beta_1(x-l)) + \right. \\ &\quad \left. + 2|\dot{Z}_{21}| \sin\left(\frac{\delta_2 - \delta_1}{2}\right) \cos \varphi \sqrt{1 - |\dot{Z}_{21}|^2 \sin^2 \varphi} \cos(2\beta_1(x-l)) \right] - \frac{\left|\dot{Z}_{21} \cos \varphi - \sqrt{1 - |\dot{Z}_{21}|^2 \sin^2 \varphi}\right|^2}{\left|\dot{Z}_{21} \cos \varphi + \sqrt{1 - |\dot{Z}_{21}|^2 \sin^2 \varphi}\right|^2} \times \\ &\quad \times e^{-2\alpha_1(2l-x)}] = P_1^+ + P_1^\pm + P_1^-, \end{aligned}$$

$$P_2 = \frac{E_0^2 |\dot{Z}_{21}| \cos \varphi}{\left| \dot{Z}_2 \left| \dot{Z}_{21} \cos \varphi + \sqrt{1 - |\dot{Z}_{21}|^2 \sin^2 \varphi} \right|^2 \right|^2} \left(\left| \dot{Z}_{21} \right| \cos \varphi \cos \left(\frac{\delta_1}{2} \right) + \cos \left(\delta_2 - \frac{\delta_1}{2} \right) \sqrt{1 - |\dot{Z}_{21}|^2 \sin^2 \varphi} \right) \times \\ \times e^{-2l(\alpha_1 - \alpha_2) - 2\alpha_2 x}. \quad (7)$$

Из (7) следует, что при отражении ЭМВ от границы раздела поглощающих сред, в первой среде образуется незатухающий и осциллирующий по координате интерференционный поток энергии P^\pm . Этот поток существует и тогда, когда вторая среда прозрачная ($\delta_2 = 0$), однако он исчезает, если первая среда является прозрачной, т.е. $\delta_1 = 0$. Примечательно еще следующее обстоятельство. Если на поверхности l ввести, как это принято, энергетические коэффициенты отражения и преломления по формулам

$$H = |\dot{\rho}|^2 = \frac{P_1^-}{P_1^+} \text{ и } T = |\dot{\tau}|^2 = \frac{P_2}{P_1^+},$$

то следует, что в рассматриваемом случае $H + T > 1$, а именно

$$H + T = 1 + \frac{P_1^\pm}{P_1^+} = 1 + \frac{4|\dot{Z}_{21}| \cos \varphi \sqrt{1 - |\dot{Z}_{21}|^2 \sin^2 \varphi} \left[\cos \left(\frac{\delta_2}{2} \right) - \cos \left(\frac{\delta_1}{2} \right) \cos \left(\frac{\delta_1 - \delta_2}{2} \right) \right]}{\left| \dot{Z}_{21} \cos \varphi + \sqrt{1 - |\dot{Z}_{21}|^2 \sin^2 \varphi} \right|^2}$$

Отсюда видно, что $H + T = 1$, только тогда, когда первая среда прозрачная ($\delta_1 = 0$). Отметим, что в курсах электродинамики этот факт, как правило, не уточняется, что приводит иногда к недоразумениям.

Плотность тепловых источников за счет диссипации энергии ЭМВ определяется известным соотношением

$$Q = -\frac{\partial P}{\partial x}, \quad (8)$$

Из выражений (7) и (8) следует

$$Q_1 = K[-2\alpha_1 e^{-2\alpha_1 x} + A[B \cos(2\beta_1(x-l)) + C \sin(2\beta_1(x-l))] - D e^{-2\alpha_1(2l-x)}], \\ Q_2 = \frac{2\alpha_2 E_0^2 |\dot{Z}_{21}| \cos \varphi}{\left| \dot{Z}_{21} \cos \varphi + \sqrt{1 - |\dot{Z}_{21}|^2 \sin^2 \varphi} \right|^2 \left| \dot{Z}_2 \right|} \left(\left| \dot{Z}_{21} \right| \cos \left(\frac{\delta_2}{2} \right) \cos \varphi + \cos \left(\delta_2 - \frac{\delta_1}{2} \right) \sqrt{1 - |\dot{Z}_{21}|^2 \sin^2 \varphi} \right) \times \\ \times e^{-2l(\alpha_1 - \alpha_2) - 2\alpha_2 x},$$

$$\text{где } K = -\frac{E_0^2 \cos\left(\frac{\delta_1}{2}\right)}{2|\dot{Z}_1|}, A = \frac{2e^{-2\alpha_1 l} \operatorname{tg}\left(\frac{\delta_1}{2}\right)}{\left|\dot{Z}_{21} \cos \varphi + \sqrt{1 - |\dot{Z}_{21}|^2 \sin^2 \varphi}\right|^2}, B = 2\beta_1(|\dot{Z}_{21}|^2 - 1), \quad (9)$$

$$C = 4\beta_1 |\dot{Z}_{21}| \sin\left(\frac{\delta_2 - \delta_1}{2}\right) \cos \varphi \sqrt{1 - |\dot{Z}_{21}|^2 \sin^2 \varphi}, D = 2\alpha_1 \left| \frac{\dot{Z}_{21} \cos \varphi - \sqrt{1 - |\dot{Z}_{21}|^2 \sin^2 \varphi}}{\dot{Z}_{21} \cos \varphi + \sqrt{1 - |\dot{Z}_{21}|^2 \sin^2 \varphi}} \right|^2.$$

В работе представлены результаты численных исследований зависимостей (9) при широком наборе параметров.

Рассматривается двухслойная среда в двух случаях:

a) в области I ($0 < x < l$) находится вода, в области II ($l < x < \infty$) - водонасыщенная пористая среда.

б) в области I - водонасыщенная пористая среда, в области II находится вода.

При этом принимались следующие значения параметров:

$$\varepsilon'_1 = 77; \operatorname{tg} \delta_1 = 0,06; \varepsilon'_2 = 4; \operatorname{tg} \delta_2 = 10^{-5}.$$

Индексы 1 и 2 относятся соответственно к воде и материалу матрицы пористой среды.

$$\begin{aligned} \text{В случае } a) \quad & \varepsilon'_I = \varepsilon'_1; \operatorname{tg} \delta_I = \operatorname{tg} \delta_1; \\ & \varepsilon'_{II} = \varepsilon'_1 m + (1-m) \varepsilon'_2; \operatorname{tg} \delta_{II} = m \operatorname{tg} \delta_1 + (1-m) \operatorname{tg} \delta_2. \end{aligned}$$

$$\begin{aligned} \text{В случае } b) \quad & \varepsilon'_I = \varepsilon'_1 m + (1-m) \varepsilon'_2; \operatorname{tg} \delta_I = m \operatorname{tg} \delta_1 + (1-m) \operatorname{tg} \delta_2; \\ & \varepsilon'_{II} = \varepsilon'_1; \operatorname{tg} \delta_{II} = \operatorname{tg} \delta_1. \end{aligned}$$

m - коэффициент пористости. α и β - коэффициенты поглощения ЭМВ и волновое число, определяются по следующим формулам:

$$\alpha_I = \frac{\bar{k}_I}{\sqrt{2}} \sqrt{\frac{1}{\cos \delta_I} - 1}; \quad \alpha_{II} = \frac{\bar{k}_{II}}{\sqrt{2}} \sqrt{\frac{1}{\cos \delta_{II}} - 1}; \quad \beta_I = \frac{\bar{k}_I}{\sqrt{2}} \sqrt{\frac{1}{\cos \delta_I} + 1}; \quad \beta_{II} = \frac{\bar{k}_{II}}{\sqrt{2}} \sqrt{\frac{1}{\cos \delta_{II}} + 1};$$

$$\text{где } \cos \delta_I = \sqrt{\frac{1}{\operatorname{tg}^2 \delta_I + 1}}; \quad \cos \delta_{II} = \sqrt{\frac{1}{\operatorname{tg}^2 \delta_{II} + 1}}; \quad \bar{k}_I = \frac{\omega}{g_0} \sqrt{\varepsilon'_I}; \quad \bar{k}_{II} = \frac{\omega}{g_0} \sqrt{\varepsilon'_{II}}. \text{ Частота } \omega$$

определялась из формулы $\omega = 2\pi f$, где $f = 915$ МГц, скорость ЭМВ в вакууме

$$g_0 = 3 \cdot 10^8 \text{ м/с. А также при этом принимались } E_0 = 10^5 \text{ В/м, } Z_0 = 120\pi \text{ Ом, } l = 0,1 \text{ м.}$$

В случае *a* первая среда ($0 < x < l$) - оптически более плотная. Из (3) следует, что угол преломления θ в данном случае больше угла падения φ . Следовательно, при некотором остром угле $\varphi = \varphi^*$, который называется *пределенным углом внутреннего отражения*, окажется, что угол θ - прямой. Преломленный луч при этом как бы скользит вдоль границы раздела сред l . Полагая в (2.4) $\theta = 90^\circ$, для $\varphi = \varphi^*$ получаем $\sin \varphi^* = \frac{1}{|\dot{Z}_{21}|}$.

При дальнейшем увеличении угла падения ($\varphi > \varphi^*$) $\sin \theta > 1$. Это значит, что углам φ , лежащим в пределах $\varphi^* < \varphi < 90^\circ$, не соответствуют какие-либо вещественные θ : преломленного луча нет, происходит *полное отражение*.

Очевидно, что угол φ^* зависит от $|\dot{Z}_{21}|$, а $|\dot{Z}_{21}|$ - от коэффициента пористости m второй среды. Следовательно, в случае большей оптической плотности первой среды ($|\dot{Z}_{21}| > 1$) областью определения функции $\theta(\varphi)$ будет решение системы из трех неравенств

$$\begin{cases} \varphi \leq \arcsin\left(\frac{1}{|\dot{Z}_{21}|}\right) \\ 0^\circ \leq \varphi \leq 90^\circ \\ 0 < m < 1 \end{cases} \quad (10)$$

Как видно из рис. 1, относительный волновое сопротивление сред $|\dot{Z}_{21}|$ с увеличением значения коэффициента пористости m быстро убывает. Между тем, при этом предельный угол внутреннего отражения φ^* возрастает (рис. 2). Данные рис. 1 и 2 характеризуют случай a . Очевидно, что решением системы неравенств (10) будет являться область, ограниченная кривой $\varphi^*(m)$ и осью абсцисс m . Это значит, что для получения численных расчетов по формулам (7) и (9) в случае a , целесообразно вводить те значения угла падения ЭМВ на границу раздела сред l , которые лежат в пределах $0 \leq \varphi(m) \leq \varphi^*(m)$.

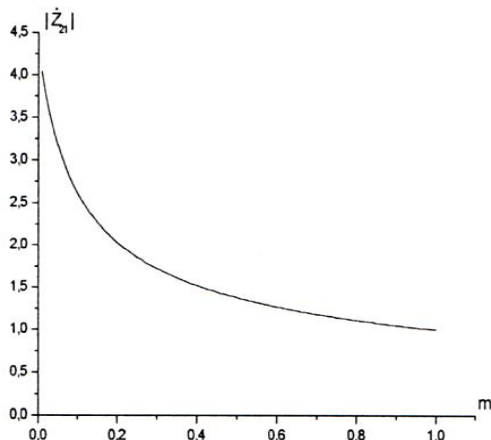


Рис.1. Зависимость относительного волнового сопротивления сред от пористости

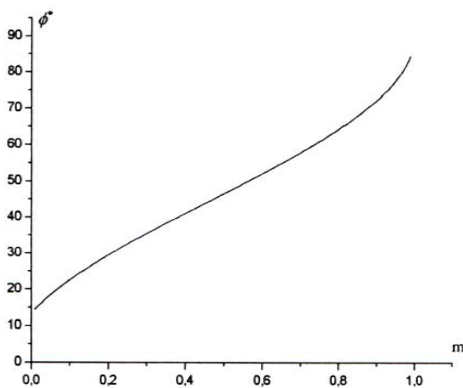


Рис.2. Зависимость предельного угла отражения волн от пористости

Для случая δ , когда вторая среда оптически более плотная, угол преломления θ меньше угла падения φ ($\theta < \varphi$), т. е. для любых φ из $0 < \varphi < 90^\circ$ соответствуют вещественные θ . Поэтому для численных расчетов можно вводить любые значения φ .

Из рис. 3, a следует, что в первой среде возникает осциллирующий с расстоянием поток электромагнитной энергии. С увеличением значения m величина модуля вектора Пойнтинга P_1 возрастает, вместе с тем, уменьшается амплитуда ее осцилляций. Возникающий в первой среде интерференционный поток электромагнитной энергии является незатухающим. Во второй среде модуль вектора Пойнтинга P_2 убывает по экспоненциальному закону (рис. 3, δ). Видно, что большему значению m соответствует наибыстрейшее убывание P_2 (пунктирная кривая расположена круче). Распределение плотности тепловых источников Q_1 в первой среде, как и P_1 , имеет волнообразный характер (рис. 4, a). С увеличением значения m амплитуда осцилляций Q_1 уменьшается. Во второй среде плотность тепловых источников Q_2 убывает по экспоненциальному закону. Однако, в случае большего значения m (пунктирная кривая) проявляется сильное убывание (рис. 4, δ)

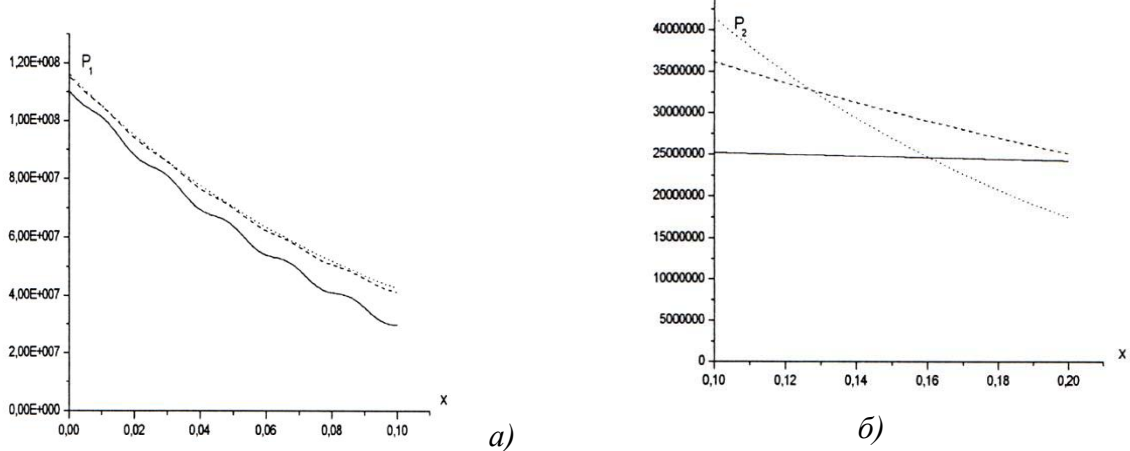


Рис. 3. Изменение модуля вектора Пойнтинга с расстоянием в первой (a) и во второй (δ) средах при различных коэффициентах пористости m : сплошная линия – 0,1; штриховая – 0,5; пунктирная – 0,9. $\varphi = 15^\circ$.

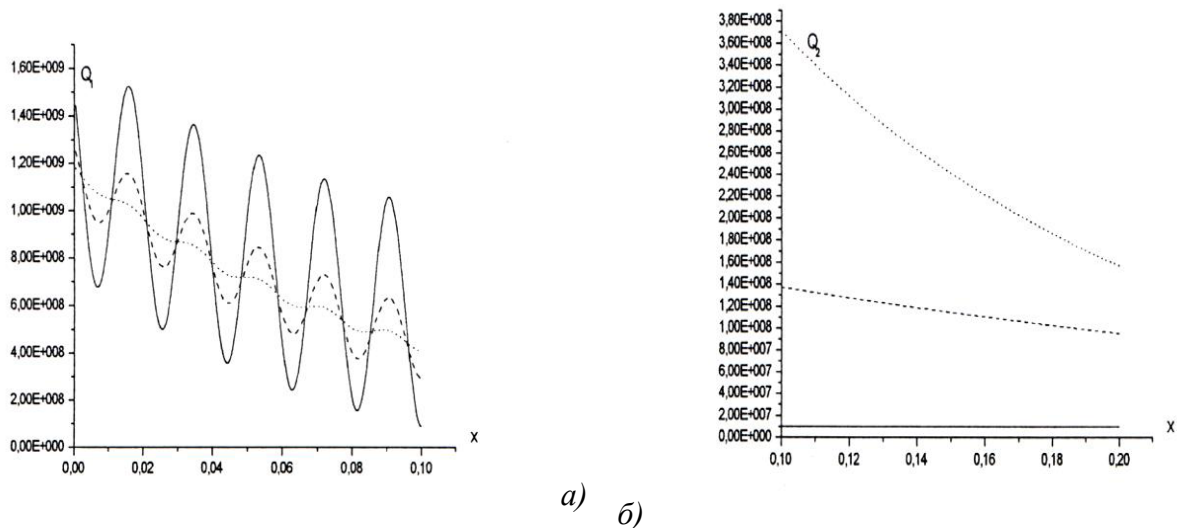


Рис. 4. Изменение плотности источников тепла с расстоянием. Обозначения соответствуют рис.3.

Интересны результаты исследований модуля вектора Пойнтинга P и плотности тепловых источников Q в зависимости от расстояния при различных значениях угла падения φ ЭМВ на границу раздела сред

Из рис. 5, а видно, что в первой среде с увеличением угла падения φ убывает значение вектора Пойнтинга P_1 , но при этом возрастает амплитуда осцилляций P_1 . Во второй среде большему значению φ соответствует большее значение P_2 (рис. 5, б). Рис. 6, а показывает, что в первой среде с увеличением значения φ увеличивается амплитуда осцилляций плотности тепловых источников Q_1 . Во второй среде наибольшему значению φ соответствует наибольшее значение плотности тепловых источников, причем Q_2 убывает экспоненциально (рис. 6, б).

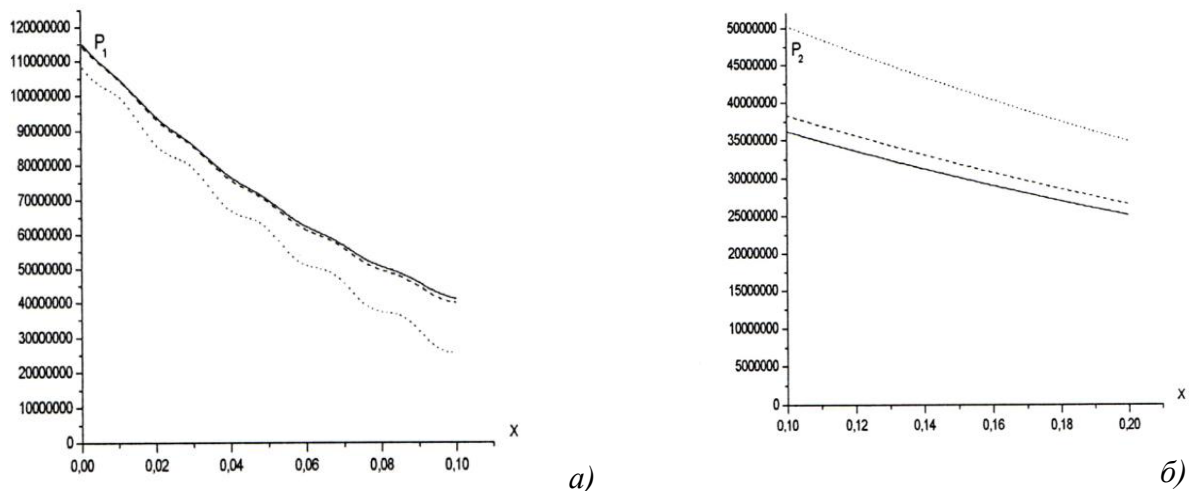


Рис. 5. Изменение модуля вектора Пойнтинга с расстоянием в первой (а) и во второй (б) средах при различных углах падения ЭМВ φ : сплошная линия – $\varphi = 15^\circ$; штриховая – $\varphi = 30^\circ$; пунктирная – $\varphi = 45^\circ$ ($m=0,5$).

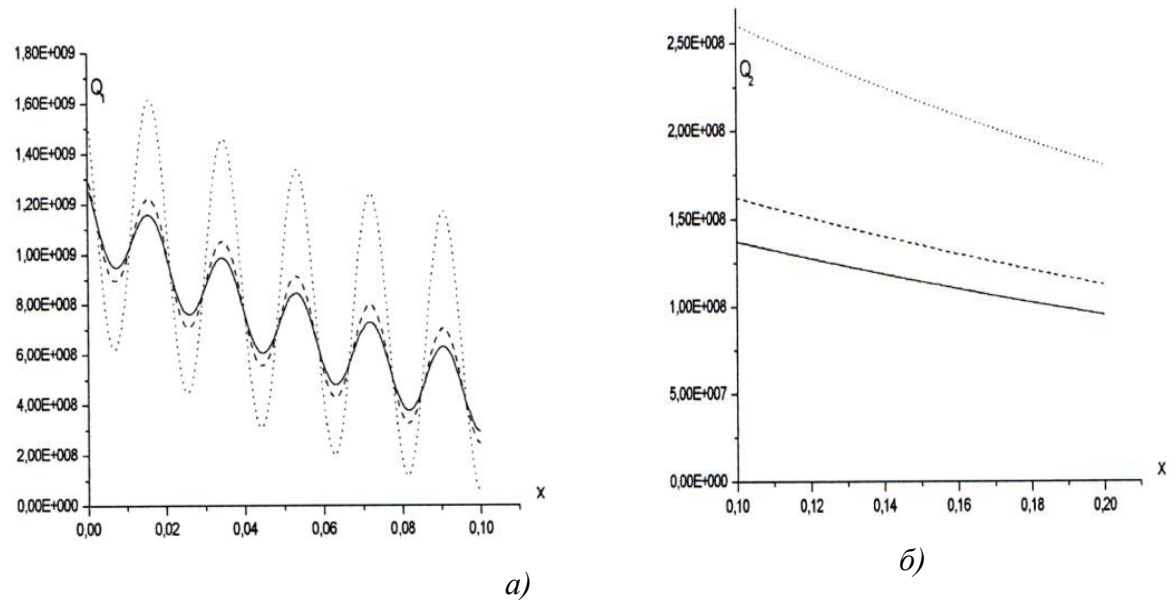


Рис. 6. Изменение плотности источников тепла с расстоянием. Обозначения соответствуют рис.5.

На рис. 7-10 представлены результаты исследований Р и Q в зависимости от координаты x для случая б.

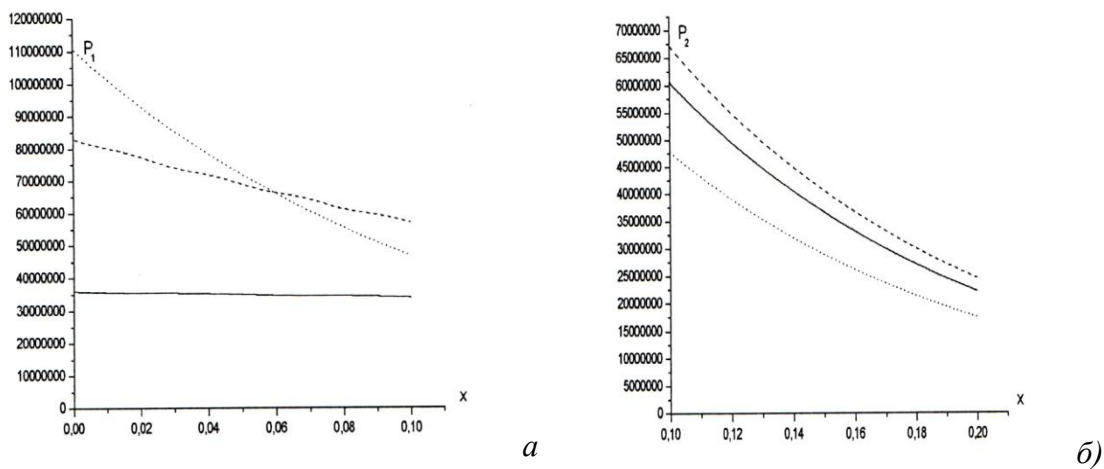


Рис. 7. Изменение модуля вектора Пойнтинга с расстоянием в первой (а) и во второй (б) средах при различных коэффициентах пористости m : сплошная линия – 0,1; штриховая – 0,5; пунктирная – 0,9.

$$\varphi = 15^\circ.$$

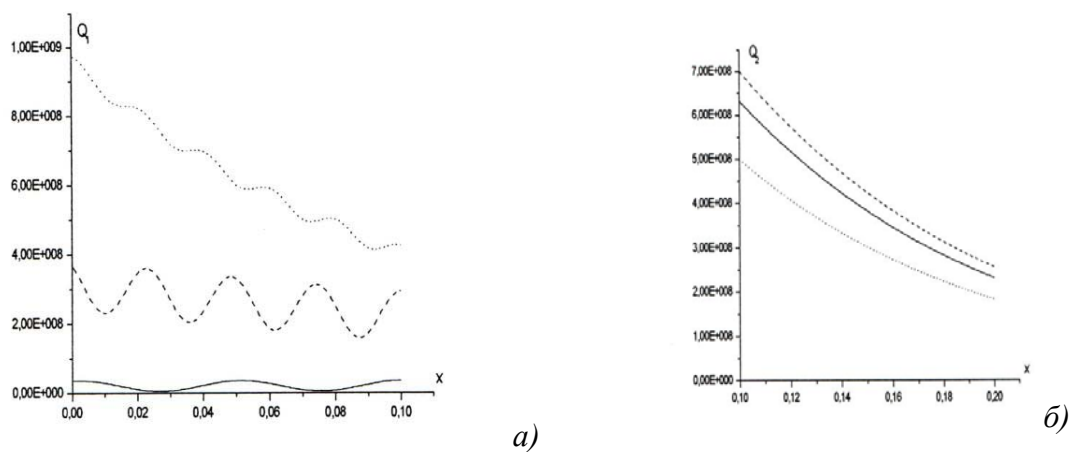


Рис. 8. Изменение плотности источников тепла с расстоянием. Обозначения соответствуют рис.7.

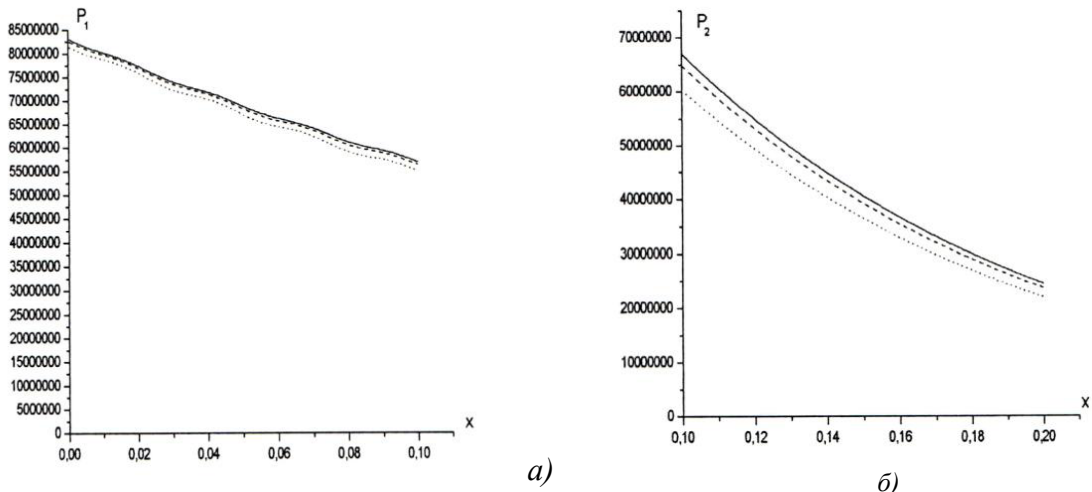


Рис. 9. Изменение модуля вектора Пойнтинга с расстоянием в первой (а) и во второй (б) средах при различных углах падения ЭМВ φ : сплошная линия – $\varphi = 15^\circ$; штриховая – $\varphi = 30^\circ$; пунктирная –

$$\varphi = 45^\circ \text{ (m=0,5).}$$

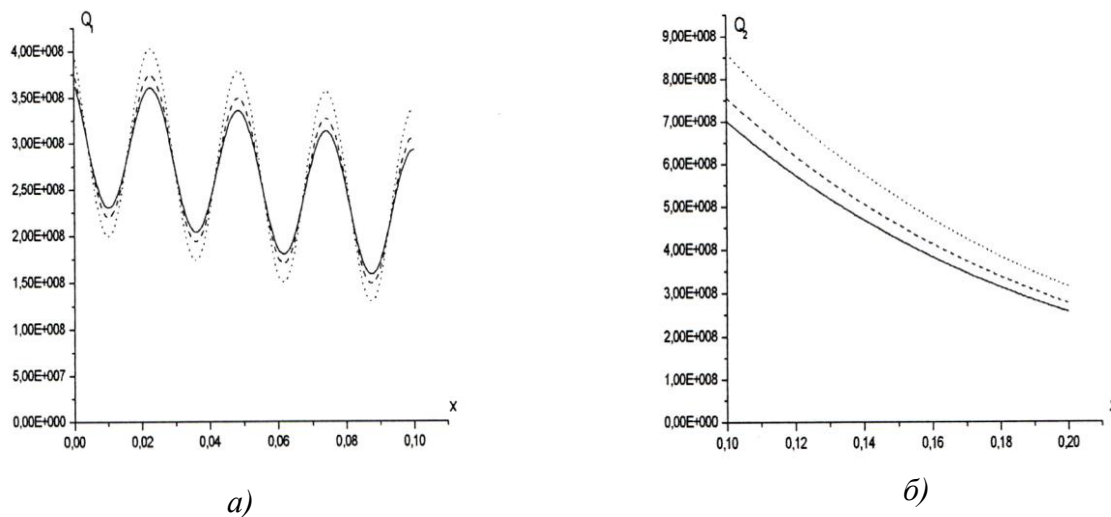


Рис. 10. Изменение плотности источников тепла с расстоянием. Обозначения соответствуют рис.9.

Из рис. 7, *a* видно, что в первой среде вектор Пойнтинга P_1 убывает, как и в случае *a* (см. рис. 3, *a*). Однако, в случае *b* осцилляции P_1 более слабые. При значении $m=0,5$ возникает наибольшая амплитуда осцилляций. Наибольшему значению m соответствует наиболее сильное убывание P_1 (пунктирная кривая расположена круче). Во второй среде вектор Пойнтинга P_2 убывает экспоненциально (рис. 7, *b*). С увеличением значения m P_2 возрастает до некоторого максимального значения и убывает. Это говорит о том, что во второй среде зависимость $P_2(m)$ нелинейная. Как следует из рис. 8, *a*, с увеличением m значение плотности тепловых источников Q_1 возрастает, при этом, как и для вектора Пойнтинга P_1 (см. рис. 7, *a*), наибольшая амплитуда осцилляций Q_1 соответствует значению $m=0,5$. Следует отметить, что и здесь зависимость $Q_2(m)$ нелинейная (рис. 8, *b*).

Рис. 9, *a* свидетельствует о том, что с увеличением значения φ значение вектора Пойнтинга P_1 убывает, но не сильно. На амплитуду осцилляций изменение угла падения φ влияет слабо. Во второй среде, в отличие от случая *a* (см. рис. 5, *b*), с увеличением угла падения φ значение вектора Пойнтинга P_2 убывает (рис. 9, *b*). Между тем, с увеличением φ амплитуда осцилляций плотности тепловых источников Q_1 увеличивается, но это увеличение происходит плавно, нежели в случае *a* (рис. 6, *a*). Во второй среде, как и в случае *a* (см. рис. 6, *b*), с увеличением значения φ значение плотности тепловых источников Q_2 возрастает (рис. 10, *b*).

Обозначения

\dot{E}_i, \dot{H}_i - комплексные напряженности электрического (В/м) и магнитного полей (А/м), $i=1$ и $i=2$ - первая и вторая среды, l - граница раздела сред, \dot{Z}_1 и \dot{Z}_2 , \dot{k}_1 и \dot{k}_2 - комплексные волновые сопротивления (Ом) и волновые вектора (1/м), φ - угол падения

электромагнитных волн на границу раздела двух сред, (рад); θ - угол преломления, рад; ϵ_0, μ_0 - электродинамические постоянные, $\Phi/\text{м}$ и $\text{Гн}/\text{м}$ соответственно; E_0 - амплитуда электрического поля при $x = 0$, n_1 и n_2 - коэффициенты преломления сред, n_{12} - относительный коэффициент преломления, Q – интенсивность распределенных источников тепла, $\text{Вт}/\text{м}^3$; P – модуль вектора Пойнтинга, $\text{Вт}/\text{м}^2$; H и T - коэффициенты отражения и преломления волн, x – расстояние, м.

Литература

1. Сидоренков В.В., Толмачев В.В. Просветление диссилирующей среды при интерференции встречных электромагнитных волн //Письма в ЖТФ. 1989. Т. 15, Вып. 21. С. 34 – 36.
2. Сидоренков В.В., Толмачев В.В. Просветление диссилирующей среды при интерференции встречных электромагнитных волн //Письма в ЖТФ. 1990. Т. 16, Вып. 20. С. 5 – 8.
3. Никольский В. В., Никольская Т. И. Электродинамика и распространение радиоволн: Учеб. пособие для вузов. М.: Наука, 1989. 544 с.
4. Некрасов Л.Б., Рикенглаз Л.Э. Отражение энергии электромагнитного поля от полубесконечной диэлектрической среды при наличии в среде фазового перехода //ЖТФ. 1972. Т. 42. Вып. 7. С. 1339 – 1342.
5. Семенцов Д.И., Ефимов В.В. Диссипация энергии в условиях интерференции встречных волн в поглощающем слое //ЖТФ. 1997. Т. 67. № 2. С. 118 – 120.
6. Хабибуллин И.Л. Электромагнитная термогидродинамика поляризующихся сред Уфа: Изд. Башкирск. Ун – та, 2000. 246 с.